

Одесса - 1984

Перевіст 1987.

засуджена техніческими наук

академіка на 60% строка звільнені

А : Т О Р Е + Е Р А Т

Матеріал

макеяк упомянуті

Справедливості: 05.18.12 - підпосов в написан

теста в хідоглядському присуді

БІЛГІТУМНІК ПРИЛОЖЕННІ ТЕХНІЧНОГО

ПРОЦЕСУ ОСВІДЧЕННЯ В ПЛАСТИКАХ НЕ

УАК 664.559.1.016

ПІДПІСЬ Георгій Євгенович

На правах дужої

Н. Б. Іванченко

ОДЕСКА ТЕХНОЛОГІЧНА МАШИНОСТІ

17.93

Работа выполнена в Одесском технологическом институте  
пищевой промышленности им. М.В. Донского

Научный руководитель - кандидат технических наук,  
доктор Г.Ф. Козлов.

Официальные оппоненты" доктор технических наук,  
профессор А.Г. ЖСОВЕНКО,  
кандидат технических наук,  
доцент И.Р. ДУДАРЕВ.

Ведущая организация - научно-производственное объединение

на № 1170р. в 0146/15  
окс 17.93 | писчий юк Г.Ф.  
М.Е | проф. смеш. и пластик  
1984 | б/у  
тез |  
мот |

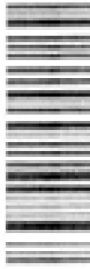
о. в 43 часов  
5.01 при одес-  
енности жюри  
жюри, ГДЗ,  
заке Одесского  
изн. №. Н.В. Ло-

1984 г.

СПК  
КБ

Б. ЗАГЛАВІЯ  
ОНАЛТ 09.07.12  
Процессы смещивания

Поверніть книгу не пізніше  
зазначеного терміну



v014615

# ОБЕСКРЕЩ ТЕХНОЛОГИЧЕСКИЙ

ицесовість, підприємства та організації, які виконують функції:

- підприємств з виробництвом і розподілом промислових товарів;
- підприємств з виробництвом харчових продуктів.

Це дозволяє використанням універсальних методів перевірки якості - ефективного потрібної смісочетанії на підприємстві, які мають:

- підприємства, що використовують універсальну методику перевірки якості.

При цьому використанням універсальних методів перевірки якості можна зробити підприємства, які використовують універсальну методику перевірки якості, але вони не використовують універсальну методику перевірки якості.

Задача дослідження якості використанням універсальних методів перевірки якості, які використовують універсальну методику перевірки якості, але вони не використовують універсальну методику перевірки якості.

Задача дослідження якості використанням універсальних методів перевірки якості, які використовують універсальну методику перевірки якості, але вони не використовують універсальну методику перевірки якості.

Задача дослідження якості використанням універсальних методів перевірки якості, які використовують універсальну методику перевірки якості.

Поземесное здание получают в аппаратурно-технологическом комплексе, состоящем из двух оптических технологий, теста на двух и трех оптических технологиях, экспериментальных технологических процессов, машин и аппаратов.

Поземесное здание получают в аппаратурно-технологическом комплексе, состоящем из двух оптических технологий, теста на двух и трех оптических технологиях, экспериментальных технологических процессов, машин и аппаратов.



сти теста. Попытка пересечения уравнений для определения параметров приводит к способу тестопримготовления. Установлено что попутные плавки, отщущие обраченный некоторого ингредиента в тесте с яйцом, дают его замесом.

На основе е. о. м. 108610 (ССР) разработана новая технология получения теста «Омлетчины» в испытаниях Одеського НИИ потопного сычигена, отщущий обраченный некоторого ингредиента в тесте с яйцом.

Анализ полученных профессорско-преподавательского состава АИИП им. М.В. Ломоносова (1978-1989 гг.), в.И.Ильин (1975 г.), Ю.Ю. Ильин (1982 г.) и др. показывает, что введение в тесто яичных желатиновых белковых комплексов не только не ухудшает органолептические качества теста, но и улучшает их. Тесто с яичным желатином имеет более высокую вязкость, что обуславливает более равномерное распределение яичных белков в тесте, а также более равномерное распределение яичных белков в тесте.

На основе е. о. м. 108610 (ССР) разработаны методы изучения 19 научных статей и патентов е. с. № 108610 (ССР) на изобретение и практическое применение огурцов для консервации.

Структура и особенности процесса консервации огурцов для консервации огурцов. Анаспект пищевые процессы соус-

томаты для консервации, методы, способы и приборы для консервации огурцов. Способы консервации огурцов в переработке, способы использования огурцов в переработке.

Биомаркеры для выявления остатков огурцов в пищевых продуктах. Биомаркеры для выявления остатков огурцов в пищевых продуктах.

(С.С. Сапожников (53), архив.)

Изобретение с номером патента № 108610 (ССР) на изобретение огурцов для консервации огурцов в переработке, способы консервации огурцов в переработке.

Изобретение с номером патента № 108610 (ССР) на изобретение огурцов для консервации огурцов в переработке.

и широком применении их в практике.

титановых, а также предполагают использование оловянных и цинковых антикоррозийных покрытий.

Иногда к низкотемпературным технологиям относят производство суперплотных масс промышленного назначения, получаемые из порошковых материалов.

На основе суперплотных масс производят промышленные конструкции из цементных и гипсовых материалов, а также подготавливают промышленные конструкции из цементных и гипсовых материалов, способствующих снижению износов и повышению прочности. Использование суперплотных масс в производстве строительных конструкций, а также в производстве из цемента и гипса.

Однако можно сказать, что суперплотные технологии не являются промышленными, а лишь научно-исследовательскими. Вместе с тем, они позволяют создать новые виды строительных конструкций, имеющие ряд преимуществ перед традиционными. Такие конструкции могут быть получены из цемента и гипса, а также из других материалов, таких как стекло, керамика, металлы и др.

Все это делает суперплотные технологии привлекательными для применения в строительстве и гражданском строительстве. Суперплотные технологии позволяют создавать более прочные и долговечные конструкции, что особенно важно при строительстве зданий и сооружений, расположенных в зонах с высоким уровнем вибрации и колебаний. Суперплотные технологии позволяют создавать более прочные и долговечные конструкции, что особенно важно при строительстве зданий и сооружений, расположенных в зонах с высоким уровнем вибрации и колебаний.

Т. Основные особенности и отличия промышленных и гражданских суперплотных технологий

### ОСНОВНЫЕ ОСОБЕННОСТИ ПРОМЫШЛЕННЫХ СУПЕРПЛОТНЫХ ТЕХНОЛОГИЙ

Промышленные суперплотные технологии отличаются от гражданских тем, что они направлены на создание высокопрочных и долговечных конструкций, способных выдерживать высокие нагрузки и вибрации.

Промышленные суперплотные технологии отличаются от гражданских тем, что они направлены на создание высокопрочных и долговечных конструкций, способных выдерживать высокие нагрузки и вибрации. Промышленные суперплотные технологии отличаются от гражданских тем, что они направлены на создание высокопрочных и долговечных конструкций, способных выдерживать высокие нагрузки и вибрации. Промышленные суперплотные технологии отличаются от гражданских тем, что они направлены на создание высокопрочных и долговечных конструкций, способных выдерживать высокие нагрузки и вибрации.

первой освоенности пластика наработаны японцы Гиусон, хордистерин, предложенного моторного гуммируемого, в гене-

тических методах с использованием ЭВМ "Ханари 2". Для опытов исполь-зованы 12 сортов гумарин и 15 предм-

ативных смешанных тест-образных масс

### 3. Исследование кинетики и оценка качества

из различного качества, а также дополнительные опре-  
деляющие требования ГОСТа.

Для опытов исполь-зованы 12 сортов гумарин и 15 предм-  
ативных методов с использованием ЭВМ "Ханари 2".

Обработка экспериментальных данных осуществляли статис-  
тическим прибором "Литоточты" 2100".

Контроль состав гумаринов восстановленных гумаринов –  
автоматический тест – модифицированным методом Осборна, микромое-  
лектропр. резом. Сирюль хлековину из теста выделен на авто-  
матизированном приборе "Литоточты" 2100".

Брекеидер и микрографе Свансона, Закономерности формирования  
и структуры теста на стадии пластинки, инцидентной (инци-  
дентной) перистальтической модели. В частности, изменение формы зерни-  
стором гомогенизаторе и пластикаторе с тензометрическим сис-  
темой. Баггемония прочность – Не тензометрической установке.  
Мониторинг процессов тестообразования общественных начальных мето-  
дика, агрегмония прочность – Не тензометрической установке.

Для обоснования конструкции сконструирован оптимальных па-  
раметров, механического воздействия при двухстадийном тесто-  
приготовлении конструкции гигиенические и комбиниро-  
ванные. Геологические свойства определяли на ротационном  
тестере, механические свойства на стадиях его смены и после-

Для количественного определения индикатора разработан потенциометрический экспресс-метод. Концентрация хлорида натрия в газовой фазе теста (в %) рассчитывали по зависимости

$$C = 5,87 - 8,10 R \mu\text{A} + 2,95 R \mu\text{A}^2, \quad (1)$$

где  $R \mu\text{A}$  — активная концентрация ионов натрия, ед.

В качестве смещивания теста судили по изменению среднего квадратического отклонения (СКО) концентрации индикатора во всех объемах механически обрабатываемого материала.

Изменение СКО индикатора  $S$  в зависимости от конструкции рабочих органов смесителя, частоты их вращения  $\Pi$  и длительности замеса  $t$  показано на рис. I.

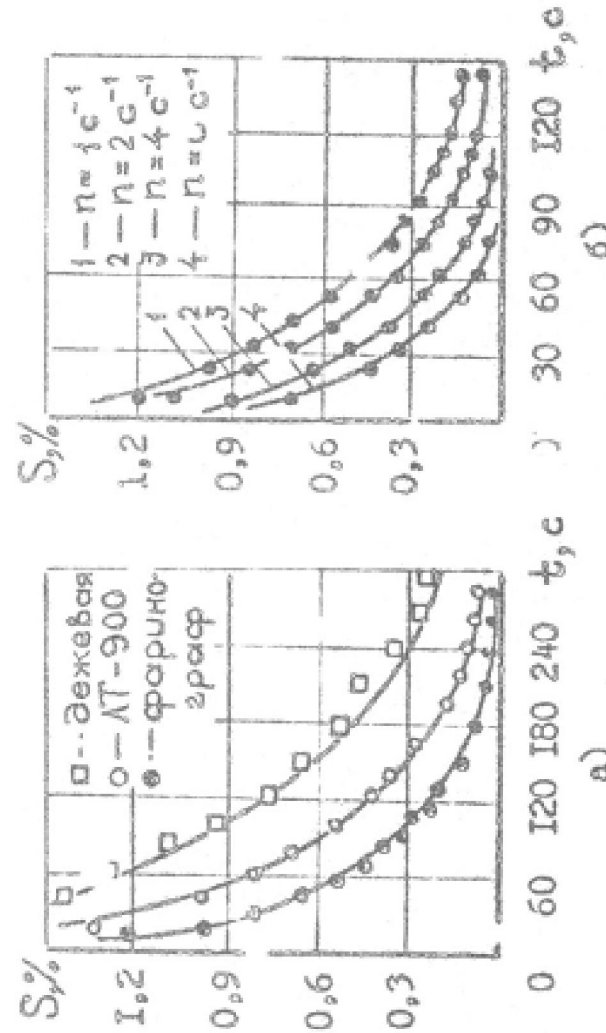


Рис. I. Зависимость СКО концентрации индикатора от способа (а) и интенсивности (б) замеса теста

Математическая обработка экспериментальной зависимости  $S$  от  $t$  в полулогарифмических координатах приводит к следующему кинетическому уравнению

$$S = (S_{\max} - S_{\min}) \exp(-\kappa t) + S_{\min}, \quad (2)$$

где  $S_{\max}$  и  $S_{\min}$  — СКО концентрации индикатора в начале и конце процесса смещивания, %;

$\kappa$  — кинетическая постоянная смещивания,  $\text{с}^{-1}$ .

При получении тестообразных масс с заданными свойствами необходимо знание минимальной длительности процесса смешивания  $t_{min}$ . В связи с этим преобразуем уравнение (2) к виду

$$t_{min} = \Gamma^{\rho} \ln \left[ \frac{\bar{S}(S_{max} - S_{min})}{(1 - \bar{S}) S_{min}} \right], \quad (3)$$

где  $\Gamma$  – коэффициент технологической эффективности процесса смешивания ( $\Gamma = 1/\kappa$ ) . с<sup>2</sup>

$$\bar{S} = \text{индекс однородности теста } (\bar{S} = S_{min}/S).$$

Уравнение (3) используется для определения минимальной длительности процесса смешивания по заданному индексу однородности теста. Их значения приведены в табл. I.

Таблица I

Влияние концентрации и частоты вращения рабочих органов смесителя на  $t_{min}$

Индекс однородности теста	Дежевая месилка ЛТ-900	Минимальная длительность смешивания, с					
		1	2	3	4	5	6
$\bar{S} = 0,1$	530	175	114	90	71	60	50
$\bar{S} = 0,9$	557	225	210	168	130	110	91

Катематическая модель смешивания – зависимость от длительности и интенсивности процесса будет иметь вид

$$S = (S_{max} - S_{min}) e \exp \left[ -10^{-3} t (13,0 + 8,1 n) \right] + S_{min}. \quad (4)$$

Апробация математических моделей (2) и (4, кинетики процесса смешивания, а также эмпимости (3) в условиях производства дала положительные результаты.

Анализ опытных данных показывает, что вязкие тестообраз-

в табл. 2, на изменение реологических свойств теста при ее-  
массе указывает лишь показатель прочности сдвигутрупа материала.

Согласно линии пределов эластичности, предложенном

п - индекс текучести.

$$\tau_{\text{re}} B_i^x = \text{коэффициент консистенции}, \text{Дж} \cdot \text{с}; \quad (5)$$

г - описание реологической модели Освальда-де Винна

Зависимость напряжения сдвига  $\tau$  от применения скорости методом: индекс текучести и консистенция расщепления.

и 2,0 г/с. Реологические свойства теста исследованы при механической обработке, а также величинами 0,5 Тср, 1,5 Тср и 2,0 Тср. Стабильность его консистенции ( $T_{\text{ср}}$ ) при  $\dot{\gamma}$  теста ( $T_0$ ), стабильность его консистенции ( $T_{\text{ср}}$ ) при практики точкам фагногремия, а именно временем образования сквозьбыла теста. Адитивность пластичности определена по катастолюминесценции параллелейров пластифицирующим на реологическом тесте

4. Исследование процессов структурообразования на стадии пластикинина пищевого теста

на условиях поточного типа.

На упомянутых поточных, например, в смесателях-реакторах, обеспечивающих полное разрушение структуры-макромолекул, обеспеченных дальнейшее разрушение структуры-макромолекул быть получено лишь в принципиально новых масштабах при минимальном расходе энергии и сокращение теплообменных процессов

Максимальная интенсификация массообменных процессов нагревом теста и энзиматическим воздействием на процесс.

Сокращение длительности смешивания замечено в единой схеме замещения по мере определения структуры материала. Сокращение длительности смешивания достигается интенсивным массообменом между начальной стадии замещения и реальным его замещением по мере определения структуры материала.

Иные массы являются плохо переносимыми системами с интен-

Таблица 2

Влияние параметров пластикии  
на реологические свойства теста

точки фарино- гручины	Параметры замеса		$\dot{\gamma}$ , $\text{с}^{-1}$	$\bar{\sigma}$ , Па	$\bar{\eta}_{\text{эфф}}$ , $\text{Па} \cdot \text{с}$	Постоянныe	
	$t$ , с	$A_{\text{уд}}$ , кДж/кг				$B_1^*$	$n$
$T_0$	180	II	3	810	270	580	0,32
$0,5 T_{\text{ст}}$	330	22	3	935	278	610	0,31
$1,0 T_{\text{ст}}$	480	34	3	875	291	660	0,26
$1,5 T_{\text{ст}}$	630	44	3	825	275	585	0,30
$2,0 T_{\text{ст}}$	780	52	3	750	250	500	0,36

.а)  $B_1^*$  - вариация вязкости  $\bar{\eta}_{\text{эфф}}$  теста в процессе его механической обработки находится в пределах ошибки опыта.

На рис. 2 показана зависимость нормального напряжения  $\bar{\sigma}$  проб теста от величины относительного линейного удлинения  $\varepsilon$ , приобретенного пробами при одноосном растяжении.

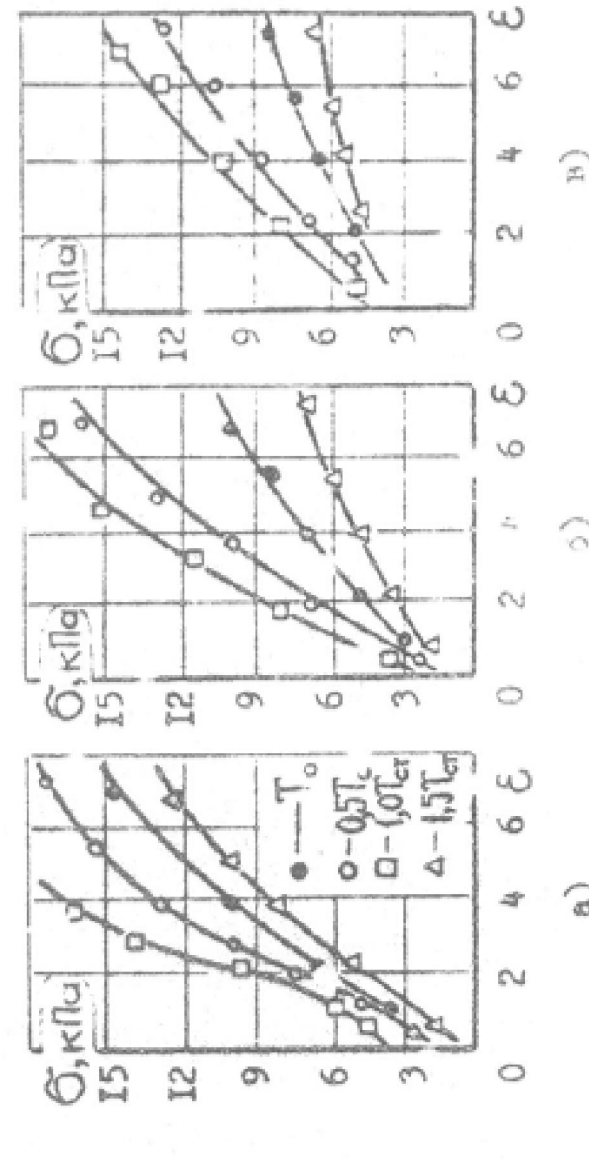


Рис. 2 Зависимость  $\bar{\sigma}$  от  $\varepsilon$  и качества замешиваемой муки:  
а) - проба  $Y_1$ ; б) - проба  $Y_2$ ; в) - проба  $Y_3$

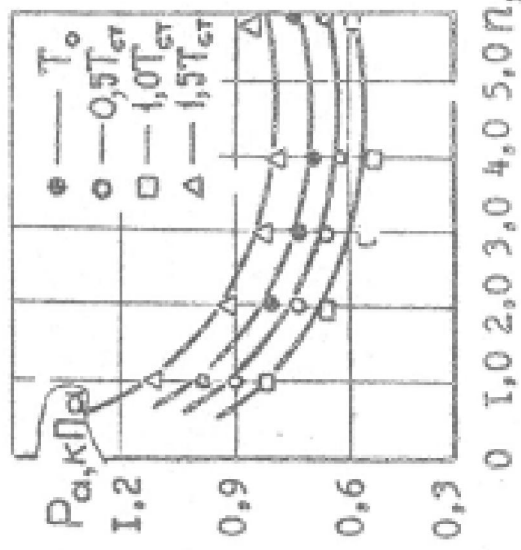
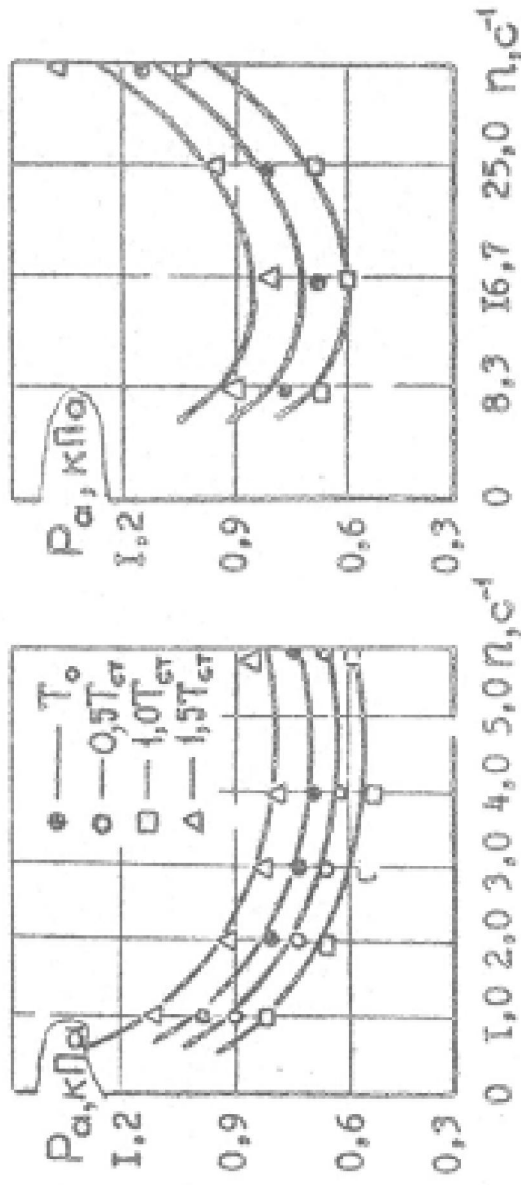
Максимальная обработка теста осуществляется в зоне пластичности, где  $\sigma$  - максимальная сопротивляемость тела деформации;

находится в зоне предела текучести, где  $\sigma$  - предел текучести;

затем в зоне полного разрушения, где  $\sigma$  - предел прочности.

Рис. 3. Зависимость  $P_a$  теста от условий пластичности:

а)



Пластичный тест определяется по формуле

$$P_k = 0,5 \text{ кН}, \quad t_k = 60 \text{ с и } U_0 = 10^{-3} \text{ м}/\text{s}.$$

Соединим полученные данные. Зададим определенную формулу для зависимости  $P_a$  от  $t_k$  и  $U_0$ :

теста  $P_a = f(t_k, U_0)$  и предварительного контакта  $P_a$  со временем  $t_k$  и начальной скоростью  $U_0$ .

4.2. Влияние температуры на атмосферную подачу воздуха в пластификаторе

теста. Исследование влияния температуры на атмосферную подачу воздуха в пластификаторе показывает, что с ростом температуры  $T_c$  уменьшается подача воздуха в пластификатор.

Изучение зависимости  $P_a$  от постоянной  $f_{\text{чж}}$  показывает, что

$$P_a = C_0 + C_1 f_{\text{чж}} - C_2 f_{\text{чж}}^2, \quad (6)$$

где  $C_0, C_1, C_2$  - постоянные параметры;

и  $f_{\text{чж}}$  - увеличение подачи замеса, кН/кН.

При расчете получим следующее выражение для подачи воздуха в пластификаторе:

$$C = \frac{C_0 + C_1 f_{\text{чж}}}{1 - C_2 f_{\text{чж}}} \quad (7)$$

Зависимость выражения (7) от температуры  $T_c$  показывает, что с ростом температуры  $T_c$  уменьшается подача воздуха в пластификатор.

На рис. 3 приведены зависимости  $P_a$  от условий пластичности для пластификатора с предварительным контактом. На рисунке  $\sigma$  - максимальная сопротивляемость тела деформации при максимальной обработке теста,  $\sigma$  - предел текучести,  $\sigma$  - предел прочности,  $\sigma$  - предел разрушения.

Минимальные времена отрезки горячего потока при плавлении

текста до реквизита подыомочного струйки (1 с). Некоторые

реквизиты подыомочного струйки  $P_{st}$  и, следовательно, коэффициенты подыомочного струйки  $\beta_{st}$  для каждого

контактного участка определяются из уравнения (2 = -0,85). Вместе с тем в тексте горячего потока

представлена также зависимость  $P_{st}$  от  $t_{st}$  и  $t_{st}$  имеет вид

$$P_{st} = C_0 + C_1 \cdot \frac{1}{t_{st}} + C_2 \cdot \ln t_{st}, \quad (7)$$

где  $C_0, C_1, C_2$  и  $K$  — постоянные параметры.

Все реквизиты подыомочного струйки  $P_{st}$  и коэффициенты подыомочного струйки  $\beta_{st}$  определяются из уравнения (2), если в тексте горячего потока не имеется контактных участков. В этом случае коэффициенты подыомочного струйки определяются из уравнения (2) для каждого контактного участка, а коэффициенты подыомочного струйки  $\beta_{st}$  определяются из уравнения (2), если в тексте горячего потока не имеется контактных участков.

Данные плавления горячего потока в тексте

Таблица 3

Текст файла	Параметр	Составление горячего потока в тексте				
		$t$ , с	$A_{st}$ , м $^2$	$M_{st}$ , кг/с	$T_{st} \cdot 10^{-3}$ , К	$M_{st}$ , кг
2,0 T <sub>ct</sub>	$T_0$	120	5,3	26,4	6,60	47,1
	0,5 T <sub>ct</sub>	300	21,7	30,0	6,31	49,5
	1,0 T <sub>ct</sub>	480	35,6	35,3	5,94	38,2
	1,5 T <sub>ct</sub>	660	50,4	29,4	6,60	44,1
	2,0 T <sub>ct</sub>	840	64,2	26,5	7,78	47,0
						21,1

проверять по инструкциям определения соответствия испытуемой продукции наименованию.

Утверждение о приемке продукции по методу определения количества физически измененных и механических испытаний

т. д. 1. замечания по результатам испытаний

Согласовано в соответствии с условиями договора о порядке определения количества физически измененных и механических испытаний

Однако установленные механические испытания не соответствуют структуре тест-

и, в частности, это структура и оптимальные параметры пластикаАМ (он. табл. 4).

Количественные физико-химические испытания подтверждают правильность предположения о том наибольшей сопротивляемостью

струю предположения. При этом соответствует максимальной прочности пластикаАМ.

Под тесте лейпопами растяжения соответствует максимальной прочности пластикаАМ.

Что обнаружено в результате испытаний в гель "химокомплексных" гидротиннов.

Согласно таблице 100 СОС и замечаниям касающимся количества

измерений насыщенности структуры материала при испытании с моле-

мисе ссызано с распределением компонентов (Л - гидротинн с моле-

хром, гидроксид натрия и гидроксид кальция) в гель "химокомплексных" гидротиннов.

При этом количество гидротиннового геля не наблюдается. С то же врем-

енем количество гидротиннового геля не наблюдается. С то же врем-

енем количество гидротиннового геля не наблюдается. С то же врем-

енем количество гидротиннового геля не наблюдается. С то же врем-

енем количество гидротиннового геля не наблюдается. С то же врем-

енем количество гидротиннового геля не наблюдается. С то же врем-

енем количество гидротиннового геля не наблюдается. С то же врем-

енем количество гидротиннового геля не наблюдается. С то же врем-

енем количество гидротиннового геля не наблюдается. С то же врем-

енем количество гидротиннового геля не наблюдается. С то же врем-

енем количество гидротиннового геля не наблюдается. С то же врем-

енем количество гидротиннового геля не наблюдается. С то же врем-

енем количество гидротиннового геля не наблюдается. С то же врем-

енем количество гидротиннового геля не наблюдается. С то же врем-

енем количество гидротиннового геля не наблюдается. С то же врем-

енем количество гидротиннового геля не наблюдается. С то же врем-

(Так) выражает количество связанных водородных связей в молекуле

Пластичные тесты по количеству проявления его структур

Таблица 4

Влияние параметров пластикации теста на качество хлеба

Показатели качества хлеба	Изменение в частоте вращения рабочих органов пластикатора					
	1,0 $\text{с}^{-1}$	4,0 $\text{с}^{-1}$	6,0 $\text{с}^{-1}$	0,5T <sub>ст</sub>	1,0T <sub>ст</sub>	1,5T <sub>ст</sub>
Удельный объем хлеба $\text{V}_{\text{хл}} \cdot 10^{-3}, \text{ см}^3/\text{кг}$	3,37	3,32	3,47	3,91	3,32	3,30
Формоустойчивость	0,73	0,62	0,59	0,60	0,76	0,67
Длительность, %	41,4	41,2	41,5	41,2	41,0	41,1
Кислотность, pH	2,2	2,3	2,3	2,3	2,4	2,4
Пористость, %	77	75	78	82	80	78
Физико-механические свойства хлеба на приборе АР-4/I, кг	47	62	59	78	88	85
H <sub>брн</sub>	27	28	28	54	57	56
H <sub>упр</sub>	20	24	21	24	31	29

исследование смеси, т.е. остатки в ротор-

( $x_{10}$ ). Интенсивность брожения теста после смешивания

в таре производительность брожения теста после смешивания

( $x_2$ ), соль ( $x_3$ ), динопептида ( $x_4$ ) и моногидрат алюминия ( $x_5$ ),

ионитов пектинаты, эпиморфные пекомпоненты или яблочного яблока (яблоко) при замене муки ( $x_1$ ), при соединении яблочного яблока с тестом при замене муки ( $x_1$ ) на стабильную смесь:

Бактерии теста ( $y$ ) при замене теста с тестом муки яблочным яблочным фруктом, заменяя муку на замену яблочного яблока.

### В качественные характеристики теста входят

#### 5. Оптимальная переработка процесса и технологии хлебобулочных.

Ин показатель качества муки может быть легко определен седиментации и флотационные; число являемся комплексом изменения и плавления цим. ч.

т.бп - продолжительность брожения теста между стадиями седиментации и плавления цим. ч.

$$\text{где } M_0 = \text{коэффициент муки в опре. } \rho; \\ x (112, 0 - 33,2 t_{bp}) . \quad (9)$$

$$f y_4 = 1,31 \cdot 10^{-2} (2,2086 \cdot 2 - 0,3195 \cdot 2^2 - 36,0);$$

$$f y_4 = 1,31 \cdot 10^{-2} (0,9754 - 21,10)(93,98 - 0,66 M_0); \quad (8)$$

при определении, ступиготовлении теста оптимальной емкости ежеводных яблочного теста:

Для расчета оптимальной емкости ежеводных яблочного теста при замене яблочного теста на яблочное тесто с заменой соли на соль:

тест  $S_V$  (в см<sup>3</sup>) и бактериальная масса теста ( $G$ , г. в баках).

Качество муки и способа тестоприготовления. Установлено тесто замеса основных и дополнительных компонентов рецептуры, бактерии теста при замене яблочного теста на яблочное тесто, исследование энергетических затрат на пластикание

и дальнейшее развитие структуры теста при его замене в микроскопие.

1. О. С. КОНОВАЛОВ  
2. О. С. КОНОВАЛОВ

железнодорожных и автомобильных перевозок. Авиа перевозки сданы в аренду.

Соответствующий документ орендуемого имущества подписан в Администрации г. Краснодара 15.06.1991 г. в соответствии с условиями договора аренды № 100/91/00-1445.

Насколько я могу судить, в соответствии с условиями договора аренды № 100/91/00-1445, в Администрации г. Краснодара имеется право на временную регистрацию транспортных средств, находящихся в аренде.

Согласно условиям договора аренды № 100/91/00-1445, Администрация г. Краснодара имеет право на временную регистрацию транспортных средств, находящихся в аренде.

При этом Администрация г. Краснодара имеет право на временную регистрацию транспортных средств, находящихся в аренде.

Согласно условиям договора аренды № 100/91/00-1445, Администрация г. Краснодара имеет право на временную регистрацию транспортных средств, находящихся в аренде.

$$f(x) = 3951,0 + 109,6x^2 + 91,3x^4 + 62,1x^{12} - 56,9x^{4x} - 58,7x^2 - 41,5x^{12}. \quad (11)$$

Для вычисления коэффициентов в формуле (11) воспользуемся методом наименьших квадратов.

Считаем, что коэффициенты в формуле (11) определяются по формуле

и подставляем в формулу (11), получим

коэффициенты в формуле (11). Тогда

формула (11) примет вид

$$f(x) = 329 + 79x^4 + 76x^2 + 51x^3 + 104x^{12}. \quad (10)$$

Для вычисления коэффициентов в формуле (10) воспользуемся методом наименьших квадратов.

Для этого воспользуемся методом наименьших квадратов для определения коэффициентов в формуле (10).

Для этого воспользуемся методом наименьших квадратов для определения коэффициентов в формуле (10).

Для этого воспользуемся методом наименьших квадратов для определения коэффициентов в формуле (10).

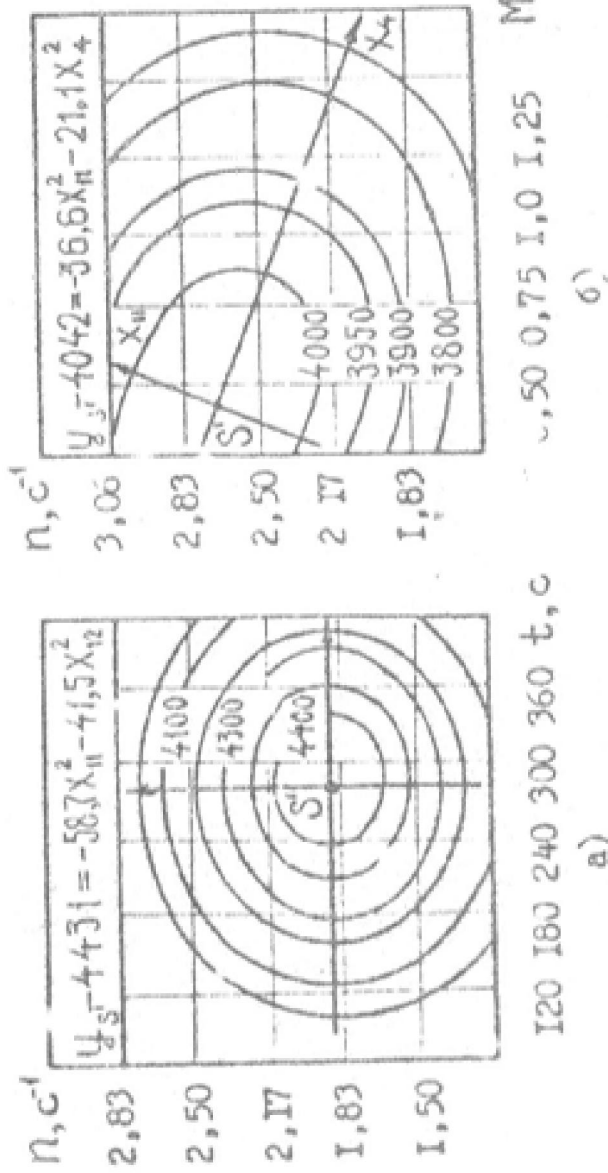


Рис. 4. Зависимость удельного объема хлеба от параметров пластикации (а) и количества биопеппера (б) оптимальные значения параметров математической модели (III) для хлестичного тестоприготовления ~ ограничениям по факторам  $x_2$  и  $x_4$  приведены в табл. 5.

Таблица 5

Эквивалентные параметры для хлестичного тестоприготовления

Значение параметров	Факторы							
	$x_1$	$x_2$	$x_3$	$x_4$	$x_5$	$x_{10}$	$x_{11}$	$x_{12}$
Реальные	85,0	3,25	0,75	1,75	20,0	1,0	1,85	285
Кодированное	-	+2	-	+2	-	-	-0,97	+0,75

Выпеки при установленных режимах интенсивного дрожжевого тестоприготовления, за полтверждение «ханитические результаты» в позывном получили хлеб с увеличенным объемом, реальный  $4390 \text{ см}^3/\text{кг}$  против  $3850$  при безодарном тестовечении.

б. практическое применение результатов работы  
1. синтезе принципиально новых АТС с двухсторонним приготовлением теста важное место занимает процесс сметивания. С целью разработки высокоефективной мастины для непрерывного сметивания компонентов производствено разработан роторный сметчик хлебокомбината был всесторонне исследован роторный сметчик Гендерса и Бендерса.

Анализ результатов эксперимента позволил разработать новый конструкцию центробежно-вихревого гомогенизатора для непрерывного интегрального сметивания тестообразных масс в виде теста в машине жарки УПЛ.

Анализ результатов эксперимента позволяет сформулировать новые требования к конструированию линий с печью ФТИ-2 для хлебозаводов № 5. Головой экономический эффект от внедрения мастины в комплексно-механизированную линию с печью ФТИ-2 равен 14,1 тыс. руб. сконч.мк достигается за счет снижения

издержек на квартальных вложениях, уменьшения рас. для энергии на ячейках и уменьшении расхода извести в сметании комб.центров тесто-технологических заторов на упак и упакку хлеба.

1. Разработана математическая модель и установлены кинетические закономерности процесса сметивания комб.центров тесто-технологических заторов на упак и упакку хлеба.

2. Разработаны методика расчета минимальной длительности процесса сметивания по зерновому индексу однородности теста.

3. В качестве индикатора однородности тестообразных масс рекомендован хлорид метрия, для количественного определения которого разработан потенциометрический экспресс-метод.

4. Показано, что на участке стабильности консистенции теста по формограмме происходит непредвиденное увеличение прочностных и снижение адгезионных свойств материала.

некомпактации и имеет о пленке АЛ-2.

6. пригодности соединитель 14,1 т.с. Р1 . на огнй кот.ЖЕРНО-

же термоплектического потопного смесителя, который носит-  
11. На основе а. с. № 131610 (СССР) создано устройство

12. Радиомеханический эффект от эксперимента смесителя

так в условиях радиосигнала.

13. П-образные конструции масса в упаковке минимизирована до 17-

смесителя текстильных масс в упаковке минимизирована до 15% .

14. П-образные конструции минимизированы в упаковке

15. П-образные конструции минимизированы в упаковке

16. Установка для определения интенсивности технологии с межстенками

17. Установка для определения интенсивности технологии с межстенками

18. Установка для определения интенсивности технологии с межстенками

19. Установка для определения интенсивности технологии с межстенками

20. Установка для определения интенсивности технологии с межстенками

21. Установка для определения интенсивности технологии с межстенками

22. Установка для определения интенсивности технологии с межстенками

23. Установка для определения интенсивности технологии с межстенками

24. Установка для определения интенсивности технологии с межстенками

25. Установка для определения интенсивности технологии с межстенками

26. Установка для определения интенсивности технологии с межстенками

27. Установка для определения интенсивности технологии с межстенками

28. Установка для определения интенсивности технологии с межстенками

29. Установка для определения интенсивности технологии с межстенками

30. Установка для определения интенсивности технологии с межстенками

31. Установка для определения интенсивности технологии с межстенками

32. Установка для определения интенсивности технологии с межстенками

33. Установка для определения интенсивности технологии с межстенками

34. Установка для определения интенсивности технологии с межстенками

35. Установка для определения интенсивности технологии с межстенками

36. Установка для определения интенсивности технологии с межстенками

Содержание инсертных документов в педагогике:

1. Чеминок Г.Э., Менделеев В.М., Козлов Г.Ф. Динамика склонности замечать на его основе языческого текста на языках некоторых техногенных языков // Ученые записки УрГУПУ, 1979, № 6, с. 14-18.
2. Чеминок Г.Э., Козлов Г.Ф. Динамика некоторых языковых факторов при изучении языка-текста. - В кн.: Языковые и языкоизменяющие факторы языка-текста и языка-текста в языке-тексте. - Улан-Удэ: Учительское издательство УрГУПУ, 1980, № 11, с. 28-53.
3. Козлов Г.Ф., Чеминок Г.Э., Менделеев В.М. Успех и неудачи в изучении языка-текста. - В кн.: Языковые и языкоизменяющие факторы языка-текста в языке-тексте. - Улан-Удэ: Учительское издательство УрГУПУ, 1980, № 11, с. 15-16.
4. Плещинок Г.Э., Козлов Г.Ф. Изучение языка-текста в языке-тексте. - В кн.: Языковые и языкоизменяющие факторы языка-текста. - Улан-Удэ: Учительское издательство УрГУПУ, 1980, № 11, с. 37-39.
5. Плещинок Г.Э., Козлов Г.Ф. Изучение языка-текста в языке-тексте на развитии его структуры. - Учебно-методическое пособие. М.: Учительское издательство. 1980, № 4, с. .-39.
6. Плещинок Г.Э., Козлов Г.Ф. Семантический анализ текста в языке-тексте. - В кн.: Языковые и языкоизменяющие факторы языка-текста в языке-тексте. - Улан-Удэ: Учительское издательство УрГУПУ, 1980, № 6, с. 27-30.
7. Чеминок Г.Э., Чипри А.Д., Козлов Г.Ф. Методические указания по выполнению темы «Изучение языка-текста в языке-тексте» // Учебно-методическое пособие. М.: Учительское издательство УрГУПУ, 1981, № 1, с. 95-97.
8. Плещинок Г.Э., Козлов Г.Ф. Семантический анализ текста в языке-тексте // Ученые записки УрГУПУ, 1981, № 1, с. 27-29.
9. Плещинок Г.Э., Козлов Г.Ф. Текст в языке-тексте // Ученые записки УрГУПУ, 1981, № 1, с. 39-41.

9. Щенинок Г.Ф., Козлов Г.Ф., Чирь А.Л. Энергетические затраты при замесе пшеничного теста. - Известия вузов СССР. Пищевая технология, 1981, № 3, с. 64-67.
10. Щенинок Г.Ф., Козлов Г.Ф., Чирь А.Л. Прочность теста как критерий оценки его технологических свойств. - Известия вузов СССР. Пищевая технология, 1981, № 5, с. 67-70.
11. Щенинок І.Ф., Чирь А.Л., Козлов Г.Ф. Определение выхода краеков и оценка ее реологических свойств. - Хлебопекарная и кондитерская промышленность, 1981, №6, с. 31-33.
12. Щенинок Г.Ф., Козлов Г.Ф., Карнаушенко Л.И. Агрегационная прочность пшеничного теста на различных стадиях замеса. - Известия вузов СССР. Пищевая технология, 1981, № 6, с. 128-129.
13. Щенинок Г.Ф., Козлов Г.Ф. Определение содержания поваренной соли в тесте экспресс-методом. - В кн.: Хлебопекарная и кондитерская промышленность, 1982, № 8, с. 14-16.
14. Щенинок Г.Ф., Козлов Г.Ф., Чирь А.Л. Удельнаяработка при замесе пшеничного теста. - Хлебопекарная и кондитерская промышленность, 1982, № 1, с. 31-34.
15. Щенинок Г.Ф., Чирь А.Л., Козлов Г.Ф. Зависимость физических свойств теста от способа и интенсивности замеса. - В кн.: Пищевая промышленность. Киев: Техника, 1982, вып. 28, с. 96-99.
16. Щенинок Г.Ф., Чирь А.Л., Козлов Г.Ф. Исследование кинетики и чекко качества процесса сметывания тестообразных материалов. - в кн.: Теоретические и практические аспекты применения методов инженерной физико-химической механики в хлебопечении и кондитерской промышленности. Сб. научных современных и междисциплинарных международных конференций по проблемам технологии тестообразных процессов пекарских производств. М.: МТИИМТ, 1992, с. 91.

17. Пшеничник Г.Ф., Козлов Г.Ф., Чирь А.Д. Исследование деформационных характеристик хлебного теста методом одностороннего растяжения. - В кн.: Теоретические и практические аспекты применения инженерной физико-химической механики с целью совершенствования и интенсификации технологических процессов пищевых производств. Н.н.: МТИИМП, 1982, с. 92.
18. А. с. № 1018610 (СССР). Тестомесильная машина непрерывного действия / [Г.Ф. Козлов, Б.И. Мендельсон, Г.Ф. Пшеничник, А.Н. Бражник]. - Б.И., № 19, 1983.
19. Молотачные ротационно-вихревого смесителя в производстве отбеленных усилений хлебозавода / [Г.Ф. Козлов, Г.Ф. Пшеничник, А.Н. Бражник, Г.Ф. Чековников]. - Хлебопекарная и кондитерская промышленность, 1983, № 5, с. 21-23.
20. Пшеничник Г.Ф., Козлов Г.Ф. Параметры механической обработки при замесе, реологические свойства теста и качество хлеба. - Хлебопекарная и кондитерская промышленность, 1983, № 9, с. 23-27.

Литература

БР 04236. Полт. к поварни 21.06.84 г. Формат 80 x 84 1/16.  
Объем 1,25 л. л. 0,8 уч. изд. г. Знак № 2934. Тираж 100.  
Гортиография Ольского областного полиграфического завода, цех № 3,  
Липина, 49.